

دراسة تأثير إجهادات السحب على قدرة تحمل أساس سطحي على تربة رملية مشبعة جزئياً

سناه خليل¹ نزيه عبود² فراس مقداد³

¹. طالبة دكتوراه، مهندسة، كلية الهندسة المدنية جامعة دمشق، الهندسة الجيوتكنيكية.
sanaa.khalil@damascusuniversity.edu.sy

². أستاذ، مهندس، دكتور في قسم الهندسة البيوتكنيكية، كلية الهندسة المدنية جامعة دمشق، جيولوجيا هندسية.
nazihabbud026@damascusuniversity.edu.sy

³. دكتور، مهندس في قسم الهندسة الجيوتكنيكية، كلية الهندسة المدنية جامعة دمشق.
Dr.f-Moukdad@damascusuniversity.edu.sy

الملخص:

في هذا البحث تم اعتماد المنهج التجريبي على عينات من التربة الرملية أخذت من محافظة طرطوس (قرية الحميدية)، والهدف من ذلك دراسة تأثير إجهادات السحب على قدرة تحمل أساس سطحي يتوضع على تربة رملية مشبعة جزئياً.

لتحقيق هدف البحث أجريت تجارب الخواص الفيزيائية الأساسية للتربة، وتم إجراء سلسلة من اختبارات التحميل المخبرية لنموذج أساس سطحي على التربة الرملية من أجل قيم مختلفة لإجهادات السحب، تم قياس إجهادات السحب وإيجاد منحني خصائص التربة-الماء باستخدام تقنية ورق الترشيح، تم تحليل النتائج ومناقشتها وأثبتت نتائج الاختبارات أن لإجهادات السحب تأثير واضح على قدرة التحمل الحدية وتراوحت قيم الزيادة بين [9-2.3] مرات قدرة التحمل بحالة الإشباع التام، وبينت نتائج الاختبارات أن لإجهادات السحب تأثير واضح على آلية انهيار التربة المختبرة.

الكلمات المفتاحية: إجهادات السحب، تربة رملية، أساس سطحي

تاريخ الإيداع: 2023/4/4

تاريخ القبول: 2023/6/20



حقوق النشر: جامعة دمشق -
سوريا، يحظر المؤلفون بحقوق
النشر بموجب CC BY-NC-SA

Studying the effect of matric suction on the bearing capacity of footing on partially saturated sandy soil

Sanaa Khalil^{*1} Nazih Abboud² Firas Moukdad³

^{*1}. Doctorate student, Engineering, Civil Engineering Damascus university, Geotechnical

sanaa.khalil@damascusuniversity.edu.sy

². Professor at Department of Geotechnical Engineering, Faculty of Civil Engineering Damascus university, nazihabbud026@damascusuniversity.edu.sy

³. Doctor at Department of Geotechnical Engineering, Faculty of Civil Engineering, Damascus university

Dr.f-Moukdad@damascusuniversity.edu.sy

Abstract:

In this research the experimental method was adopted on samples of sandy soil taken from the city of Tartous (Al-Hamidiya village), and the aim is to study the effect of matric suction on the bearing capacity of footing on partially saturated sandy soil. To achieve the aim of the research, experiments were conducted for the basic Physical properties of the soil, and a series of Laboratory loading tests were conducted for a model footing atop sandy soil for different values of matric suction, matric suction were measured and soil water characteristics curve (SWCC) was determined using filter paper technique. The results were analyzed and discussed, and The results of experimental work demonstrate that matric suction have a clear effect on the bearing capacity, and the values of the increase ranged between [3.2-9] times bearing capacity in the saturation state. The results showed that matric suction have a clear effect on the failure mechanism of the tested soil.

Keywords: Matric suction, Sandy soil, Footing

Received: 4/4/2023

Accepted: 20/6/2023



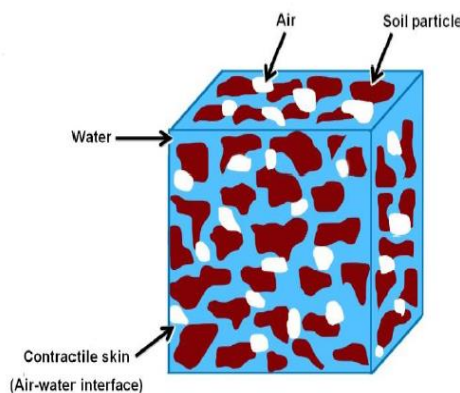
Copyright: Damascus University- Syria, The authors retain the copyright under a

CC BY- NC-SA

المقدمة (Introduction):

التجارب المستخدمة لفهم سلوك الترب المشبعة جزئياً، لذلك تم الاعتماد في هذا البحث على اختبارات التحميل المخبرية لدراسة تأثير إجهادات السحب على قدرة تحمل الأساسات السطحية، وفيما يلي ملخص لبعض هذه الدراسات وتعريف لإجهادات السحب:

تعرف الترب المشبعة جزئياً بالتراب التي تحتوي على طوري الماء والهواء في مساماتها، وتتوارد بشكل طبيعي في المناطق الجافة والاستوائية أو بشكل صناعي كالترب المشكلة بالرصف، يشار عادةً للترب المشبعة بالتراب ذات الطوريين (الجزيئات الصلبة- الماء)، وتمتلك الترب المشبعة جزئياً طوريين آخرين مستقلين هما: الهواء وسطح التماس بين الماء والهواء الذي يعمل كغشاء رقيق من و يؤثر بشكل كبير على سلوك التربة . (Ramirez, 2009) . (Li, 2013)



الشكل رقم (1) عنصر التربة المشبعة جزئياً (Sheikhtaheri, 2014)

تبين أن توزيع جزيئات الماء عبر سطح التماس بين الماء والهواء يأخذ شكل تابع مماسي زائدي، وتختلف خصائص سطح التماس بين الماء والهواء عن خصائص الماء العادي وله بنية جزئية مماثلة للبنية الجزئية في الجليد . (Matsumoto&Kataoka, 1988)

يتواجد الهواء مع الماء في مسامات التربة المشبعة جزئياً وينتج نوعين من الضغط المسامي هما ضغط الهواء وضغط

يعتمد تصميم الأساسات على عامل مهم هو قدرة تحمل التربة، غالباً يتم التصميم التقليدي للأساسات بالاعتماد على نظريات ميكانيك التربة التي تفترض أن التربة في حالة الإشباع التام والتي تعتبر الحالة الميكانيكية الأسوأ ونادرًا ما يتم الوصول لهذه الحالة، وإنما في معظم الحالات تكون التربة الطبيعية مشبعة جزئياً خصوصاً في المناطق الجافة وشبه الجافة حيث يكون منسوب المياه الجوفية عميقاً، أيضاً الترب المشكلة بالرصف المستخدمة في العديد من المنشآت الهندسية هي ترب رملية مشبعة جزئياً.

عند تطبيق النظريات التي تفترض أن الترب في حالة الإشباع التام على الترب المشبعة جزئياً، تنتج قيم غير واقعية لقدرة التحمل وللهبوط وبالتالي يكون تصميم الأساسات غير اقتصادي، لذلك تبرز أهمية دراسة تأثير إجهادات السحب على قدرة تحمل الترب الرملية المشبعة جزئياً.

تم اختيار التربة الرملية من مدينة طرطوس من قرية الحميدية والتي تقع على بعد 20كم جنوب المدينة، تم استخراج العينات بالحفر اليدوي من عمق 2م من سطح الأرض، وهي تربة رمل نظيف ونقى لا يحوي نواعم، تم اختيار هذه التربة كونها تتواجد دوماً- ضمن أعماق توضع الأساسات السطحية- بحالة الإشباع الجزئي، ومن المهم دراسة تأثير إجهادات السحب على قدرة تحمل الأساسات السطحية؛ بما يسهم في التصميم الاقتصادي للأساسات السطحية على الترب الرملية.

يهدف البحث لدراسة تأثير إجهادات السحب على قدرة تحمل التربة الرملية، والمقارنة بين قدرة التحمل بحالة الإشباع الجزئي وقدرة التحمل بحالة الإشباع التام عن طريق اختبارات التحميل المخبرية.

2. الدراسات المرجعية:

بعد الاطلاع على الدراسات المرجعية المهمة بهذا الموضوع تبين أن تجارب التحميل الحقلية والمخبرية تعتبر من أهم

الحقيقة للترابة حيث تأخذ بعين الاعتبار تأثير كل من التغيرات الحجمية والإجهادات الصافية المطبقة، يتأثر شكل المنحني بعدة عوامل منها: نوع التربة- بنيتها - تركيبها المينزالي- الضغط المطبق- الإجهادات التي تعرضت لها سابقاً- شروط الرص. (Khyat, 2018) الابتدائي - طريقة الاختبار.

تلعب إجهادات السحب دوراً مهماً في مقاومة القص، أوجد العلاقة بين مقاومة القص وإجهادات (Abd et al, 2020) السحب بالاعتماد على نظرية مور كولومب مع إدخال بعض التعديلات.

سلسلة من الاختبارات لنموذج (Nyuin et al, 2016) أجرى أساس سطحي مربع الشكل بقياسين مختلفين على تربة رملية مشبعة جزئياً مع تطبيق قيم مختلفة لإجهادات السحب، أثبتت نتائج الاختبارات ارتفاع قدرة التحمل بازدياد إجهادات السحب. أن إهمال تأثير إجهادات السحب Bach Steensen اعتبر عند حساب قدرة تحمل الترب المشبعة جزئياً يكافيء إهمال تأثير 2018 (Al-Qayssiet al, 2018) التسليح في تصميم البيرتون

المسلح، (تأثير تخفيض منسوب المياه Safarzadeh& Aminfar درس على قدرة تحمل أساس سطحي على رمل مرصوص، عن طريق إجراء عدة تجارب تحميل مخبرية عند مناسيب مختلفة للمياه، بينت النتائج التجريبية أن تخفيض منسوب المياه أدى إلى ارتفاع إجهادات السحب وازدادت قدرة التحمل الحدية بشكل غير خطى من 2.5 حتى 4 مرات قدرة التحمل بحالة الإشباع التام طريقة تعتمد على تقنية (discretization Duetal, 2021) اقترح في التحليل) المنفصلة المحدودة، لإيجاد قدرة تحمل الأساسات السطحية على الترب المشبعة جزئياً، تعتمد هذه الطريقة على مبدأ أن تبدد الطاقة الداخلية يجب ألا يكون أقل من عمل القوى الخارجية، تأخذ هذه الطريقة بعين الاعتبار تغيرات بارامترات التربة المشبعة جزئياً (Du et al, 2021) مع العمق والمتعلقة بإجهادات السحب.

3. مواد البحث وطرائقه (Methods

: (Methods

الماء والذي يكون سالباً بالنسبة لضغط الهواء المسامي بسبب تأثير قوى التوتر السطحي، يسمى الفرق بين ضغط الهواء المسامي (أو إجهادات matric suction) في الماء المسامي ويرتبط بالتفاعلات بين مينيرالات السحب التناضحي ويتعلق بكثافة الأملاح المنحلة (osmotic suction) في الماء المسامي ويرتبط بالتفاعلات بين مينيرالات التربة والماء المسامي، أثبتت دراسة وتحليل القوى المؤثرة في جزيئات الترب المشبعة جزئياً أن المكون الوحيد لإجهادات السحب في الترب الرملية هو الناتج عن ضغط الماء السالب، أما القوى الكيميائية والفيزيائية الأخرى غير موجودة أساساً 2016 (Vahedifard&Robinson،

تتعلق إجهادات السحب بعدة عوامل مثل حجم الحبيبات، شكل المسامات، كثافة التربة، درجة الإشباع وترتبط بشكل أساسي بدرجة الإشباع وتحسب إجهادات السحب من العلاقة التالية:

$$u_a - u_w = (2T_s)/R$$

إجهادات السحب،

$u_a - u_w$:

: ضغط الهواء المسامي، u_a : ضغط الماء المسامي، u_w

: نصف قطر التقرير.

T_s : قوة الشد السطحي، R:

(Shwan, 2015) (Al-Khayat, 2018)

تغير قيم إجهادات السحب في الترب المشبعة جزئياً وفق تغير درجة إشباعها، وينتج عن هذه التغيرات مناطق مميزة من الإشباع يمكن تحديدها مخبرياً أو حقلياً من خلال استخدام، (Vanapalliet al, 1999) منحني خصائص التربة والماء وسيلة مهمة لإيجاد خواص الترب SWCC ويعتبر منحني المشبعة جزئياً (مقاومة القص - معامل النفاذية) حيث أن تحديد هذه الخواص تجريبياً مكلف ويتطلب الكثير من الوقت. (Sheikhtaheri, 2014)

SWCC تستخدم العديد من التقنيات لقياس منحني التربة وتتنوع هذه التقنيات بشكل كبير من حيث مجال القياس ومبدأ العمل ووقت التوازن والتعقide، لاحقاً تم تعديل أجهزة الأدومتر وثلاثي المحاور التي تمكن من إنشاء المنحني الأقرب للشروط

بعد ، 300mm وارتفاعها 300mm من البلاستيك المقوى قطرها

ذلك تم تحضير نموذج مخبري يلبي هدف البحث:

نموذج بسمك 50x50mm (50x50)mm الأساس صفيحة معدنية مربعة الشكل، وعاء الاختبار صندوق من الفولاذ قاعدته مربع (400x400)mm بسمك 10mm، وتم 200m وارتفاعه 5mm وارتفاعها 5mm (400x400)mm مراعاة أن تقع جدران صندوق الاختبار وقاعدته خارج حدود مناطق القص للترابة عند الانهيار حسب نظرية الباحث لآلية الانهيار المحتملة للترابة المختبرة.

Terzaghi

تم رسم خطوط أفقية متوازية داخل الصندوق للتحكم برص كل طبقة بالكتافة المطلوبة.

وسمك 390x390mm (390x390)mm تم تفصيل صفيحة معدنية بأبعاد تستخدم أثناء رص طبقات التربة، الصفيحة متقطبة بأربع 5نقوب متاظرة للسماح بخروج الهواء من المسامات أثناء الرص.

ويوضح الشكل رقم (3) صورة للنموذج المستخدم.



(a) صندوق معدني بـ (400x400x200) mm



(b) صفيحة نموذج الأساس بـ (50x50)mm وبسمك 10mm



(c) صفيحة معدنية للرص بـ (390x390)mm

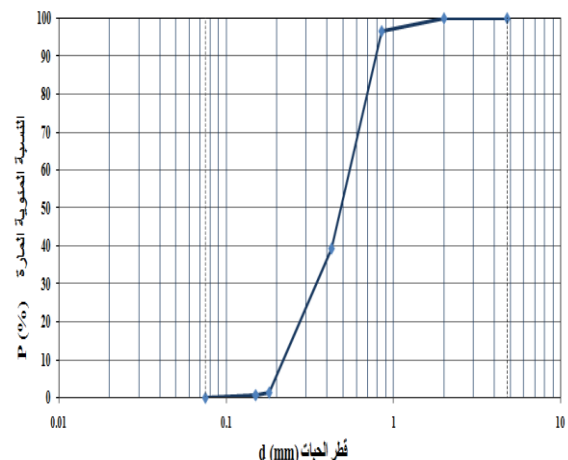
الشكل رقم (3) صورة للنموذج المخبري

3-1 تحضير التربة وتصفيتها:

تم اختيار تربة رمل من محافظة طرطوس (قرية الحميدية) وهي تربة ذات لونبني تم استخراجها بالحفر اليدوي من عمق 2m من سطح الأرض، تم إجراء تجارب الخواص الفيزيائية الأساسية للترابة ونتائجها كما يلي:

الوزن النوعي $G_s = 2.65$: ASTM-D854

التحليل الحبي $D_{60} = 0.55$ - $D_{50} = 0.49$ mm - $D_{30} = 0.34$ mm - $D_7 = 0.05$ mm



الشكل رقم (2) منحني التدرج الحبي

وصنفت $C_c = 1.0$ ومعامل الانحناء $C_u = 2.5$ معامل التجانس وفق نظام التصنيف الموحد (Sp) التربة رمل فقير التدرج الحبي (USCS).

معامل المسامية بحالة التراص الأعظمي والوزن الحجمي معالج JIS-A1224, 2000

$$e_{min} = 0.51 \quad \gamma_d \text{ max} = 17.5 \text{KN/m}^3$$

معامل المسامية بحالة التخلل الأعظمي والوزن

الحجمي ASTM D4254 الجاف الأصغرى

$$\gamma_d \text{ min} = 14.8 \text{KN/m}^3 \quad e_{max} = 0.79$$

تجربة بروكتور النظامية ASTMD698 :

الرطوبة المثالية

$$\omega_{opt} = 10.5$$

$$\gamma_d \text{ max} = 17.4 \text{KN/m}^3$$

الوزن الحجمي الجاف الأعظمي

3-2 تحضير النموذج المخبري

تم الاطلاع على نماذج مخبرية لدراسات سابقة للباحثين :

نموذج الأساس صفيحة (Vanapalli et al, 2013):

ووعاء الاختبار أسطوانة 50x50mm معدنية مربعة الشكل

دراسة تأثير إجهادات السحب على قدرة تحمل أساس سطحي على تربة رملية مشبعة جزئياً

خليل، عبود و مقداد

عدة ضربات على صفيحة الرص حتى الوصول إلى الوزن الحجمي المطلوب. يبين الجدول رقم (1) نسب الماء المضاف لكل طبقة عند درجات مختلفة من الإشباع:

جدول رقم (1) نسب الماء وفق درجات الإشباع

S%	20	25	35	50	70	90
$\omega\%$	4.95	6.2	8.6	12.4	17.3	22.3
ω (Kg)	0.54	80.6	0.94	1.36	1.89	2.44

الرطوبة الم允قة لكل درجة إشباع $\omega\%$:

ω (Kg): وزن الماء لكل طبقة بسمك 45mm

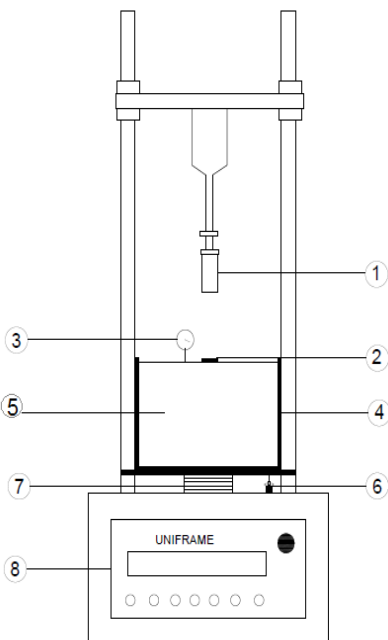
أجريت اختبارات التحميل بمعدل 1mm/min

4-قياس إجهادات السحب:

تم قياس إجهادات السحب وإيجاد منحنيات خصائص التربة - باستخدام تقنية ورق الترشيح وفق المواصفة (SWCC) الماء، وهي طريقة بسيطة واقتصادية وتمكن من ASTM D5298 قياس مجال واسع لإجهادات السحب (Fondjo,2020) (Bulolo,2021).

مبدأ هذه الطريقة أنه عندما يتم وضع عينة رطبة على تماس مع ورقة الترشيح الجافة ضمن وعاء معزول ومحكم الإغلاق، ستمتص ورقة الترشيح الماء من التربة حتى الوصول للتوازن بإجهادات السحب. أجريت الاختبارات عند درجات مختلفة من (%) 90- 80- 70- 60- 50- 35- 25- 20- 10 الإشباع: حيث تم خلط نسب محددة من التربة الجافة مع الماء، ثم تم تغليفها بغلاف عازل محكم الإغلاق وتركها 48 ساعة حتى تتجانس الرطوبة، بعد ذلك تم تشكيل العينات الرطبة في وعاء زجاجي بالوزن الحجمي المطلوب، وشكلت العينات على قسمين متساوين بحيث توضع ورقة الترشيج بمنتصف العينة وعلى تماس معها، تم استخدام ورق الترشيج من النوع بعد Schleicher & Schuell No. 589 (5.5cm بقطر) لحمايتها، بعد ذلك تم 7cm وضعها بين ورقي ترشيج قطر إغلاق الوعاء الزجاجي بإحكام وختمه ووضعه ضمن وعاء عزل لمدة أسبوع حتى تتواءن إجهادات السحب، يوضح الشكل رقم (5) الأدوات المستخدمة في تجربة ورق الترشيج:

يوضح الشكل رقم (4) رسم تخطيطي للجهاز المستخدم في اختبارات التحميل



الشكل رقم (4) رسم تخطيطي للجهاز المستخدم في اختبارات التحميل

1- خلية تحميل الكترونية 2- نموذج الأساس

3- مؤشر التشوه الشاقولي 4- صندوق الاختبار

5- تربة رملية مشبعة جزئياً 6- مقياس الانقلاب الشاقولي

7- مجموعة الدفع الميكانيكي 8- لوحة التحكم

3-اختبارات تحميل التربة مخبرياً:

أجريت اختبارات التحميل مع المحافظة على الوزن الحجمي الجاف ثابت ($KN/m^3 = 16$) لجميع الاختبارات بينما تم تغيير درجة الإشباع، من أجل كل اختبار تم خلط نسب محددة من الرمل الجاف مع الماء بشكل جيد يدوياً، تم حساب نسب الماء المضاف من العلاقة التالية: $S.e = G_s \cdot \omega$ (Zainal&Fadhil, 2018) بعد خلط النسب تم تغليفها بغلاف عازل محكم الإغلاق وتركها 48 ساعة حتى تتجانس الرطوبة، بعد ذلك تم تشكيل العينات الرطبة في وعاء الاختبار على أربع طبقات سماكة كل منها 45 مم عن طريق تطبيق

θ_r : محتوى الرطوبة الحجمي عند القيمة المتبقية

θ_s : محتوى الرطوبة الحجمي عند الإشباع التام

a : بارامتر يتعلق بمعدل n , AEV : بارامتر يتعلق بالقيمة

S_r : بارامتر يتعلق بالقيمة m تجفاف التربة،

$C(\psi)$: معامل التصحيح ويحسب من المعادلة التالية:

$$C(\psi) = 1 - \frac{\ln[1 + \left(\frac{\psi}{\psi_r}\right)]}{\ln[1 + \left(\frac{10^6}{\psi_r}\right)]}$$

ψ_r

: معامل تائب

4- النتائج والمناقشة (Results and Discussion)

4-1-إجهادات السحب:

يلخص الجدول رقم (2) نتائج الاختبارات عند درجات مختلفة من الإشباع:

الجدول (2) إجهادات السحب من تجربة ورق الترشيح

S%	$\theta\%$	$u_a - u_w$ (kPa)
10	3.96	13.51
20	7.92	8.33
25	9.9	7.3
35	13.86	5.03
50	19.8	3.62
65	25.74	2.896
70	27.72	1.97
80	31.68	1.85
90	35.64	1.35

: درجة الإشباع، θ : محتوى الرطوبة الحجمي

$u_a - u_w$: إجهادات السحب

بالاعتماد على النتائج التجريبية وباستخدام برنامج الإكسيل في

التحليل تم إيجاد قيم بارامترات معادلة Fredlund & Xing

ويبين الجدول رقم (3) قيم هذه البارامترات المستخدمة

لإنشاء SWCC منحنى

الجدول (3) قيم بارامترات معادلة Fredlund & Xing

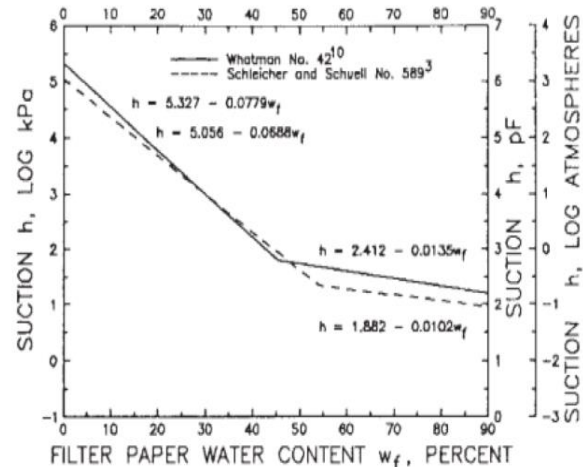
a	2.942
n	1.913
m	1.954
ψ_r	1500

ويبين الشكل رقم (7) منحنى SWCC للتربة المدروسة



الشكل رقم (5) الأدوات المستخدمة في تجربة ورق الترشح

بعد الوصول لتوازن إجهادات السحب تم حساب الرطوبات لكل من ورقة الترشح وعينة التربة، بعد تحديد رطوبة ورق الترشح بنهاية التجربة لجميع العينات تم حساب إجهادات السحب الموافقة بالاعتماد على منحنى المعايرة الخاص بورق الترشح حيث تم (Schleicher & Schuell No. 589) استخدام المنحنى المبين بالشكل رقم (6).



الشكل رقم (6) منحنىات معايرة إجهادات السحب - الرطوبة من أجل تطبيق (ASTM D5298) ورقة الترشح

بالاعتماد على النتائج التجريبية تم إنشاء منحنى SWCC

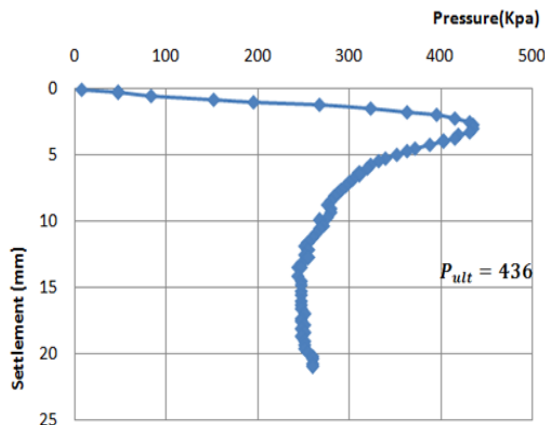
باستخدام معادلة (Fredlund & Xing, 1994)

$$\theta = C(\psi) \left(\theta_r + \frac{\theta_s - \theta_r}{\{ \ln[e + (\frac{\psi}{a})^n] \}^m} \right)$$

ψ إجهادات السحب ψ = $u_a - u_w$



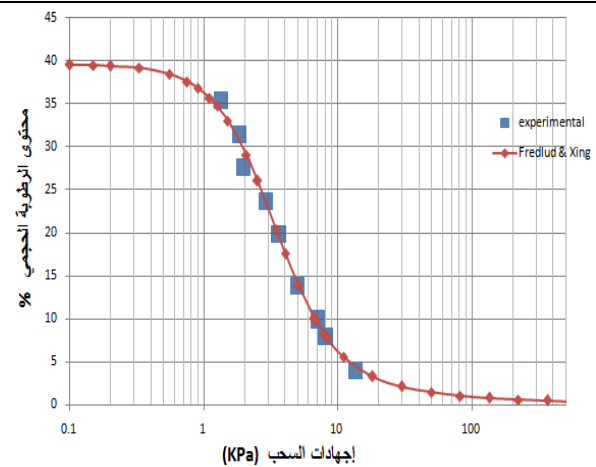
الشكل (9) اختبار التحميل للعينة بدرجة إشباع 20% $S=20\%$



الشكل(10) منحني التحميل (S=f(P) للعينة بدرجة إشباع $S=25\%$



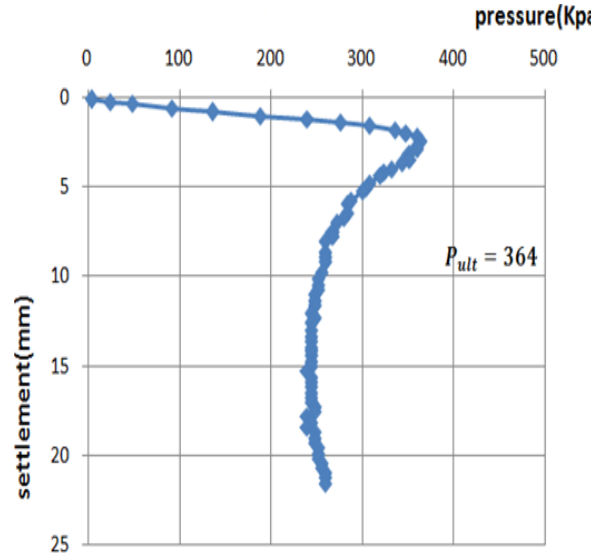
الشكل (11) اختبار التحميل للعينة بدرجة إشباع 25% $S=25\%$



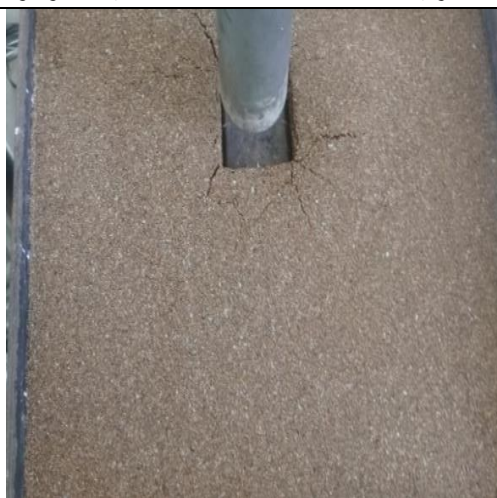
الشكل (7) منحني SWCC للتربة المختبرة

4-2 اختبارات التحميل:

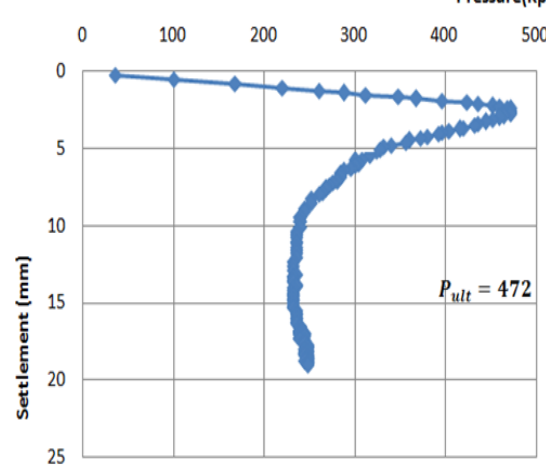
توضح الأشكال التالية نتائج اختبارات التحميل للعينات المشكلة: ، وتم إيجاد [20-25-35-50-70-90%] عند درجات الإشباع : قدرة التحمل الحدية، P_{ult} من منحنيات التحميل حيث P_{ult} وتم قياس التشوهات الشاقولية أثناء الاختبار عند أبعاد مختلفة من حافة نموذج الأساس (50-80 مم) وتم قياس قطر المنطقة السطحية المنهارة بنهاية كل اختبار .



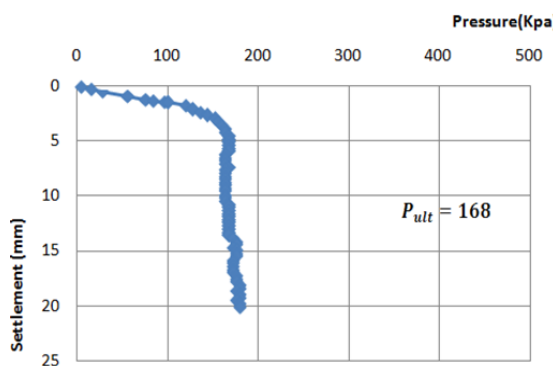
الشكل (8) منحني التحميل (S=f(P) للعينة بدرجة إشباع $S=20\%$



الشكل (15) اختبار التحميل للعينة بدرجة إشباع 50%



الشكل (12) منحني التحميل $S=f(P)$ للعينة بدرجة إشباع 50%



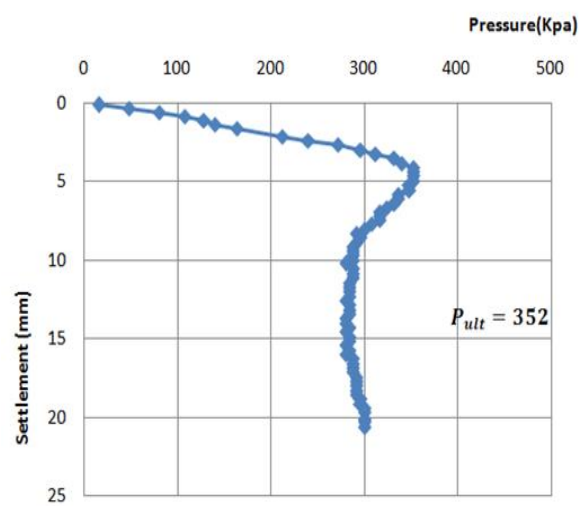
الشكل (16) منحني التحميل $S=f(P)$ للعينة بدرجة إشباع 70%



الشكل (13) اختبار التحميل للعينة بدرجة إشباع 35%



الشكل (17) اختبار التحميل للعينة بدرجة إشباع 35%



الشكل (14) منحني التحميل $S=f(P)$ للعينة المشكّلة بدرجة إشباع 35%

دراسة تأثير إجهادات السحب على قدرة تحمل أساس سطحي على تربة رملية مشبعة جزئياً

خليل، عبود و مقداد

قدرة تحمل التربة: في البداية ازدادت قدرة التحمل الحدية

بازدياد إجهادات السحب حتى الوصول لقيمة محددة

$u_a - u_w = 5.03 \text{ Kpa}$; حيث والموافقة لدرجة لدرجة

بلغت قدرة التحمل عند هذه القيمة 9 مرات قدرة التحمل الحدية

للعينة المشبعة تماماً، مع استمرار ازدياد إجهادات السحب

تناقص معدل ازدياد قدرة التحمل الحدية ليصبح 7 مرات قدرة

التحمل الحدية للعينة المشبعة تماماً عند القيمة

، يلخص الجدول التالي قيم قدرة التحمل وفق

$u_a - u_w = 8.33 \text{ Kpa}$ إجهادات السحب عند درجات مختلفة من

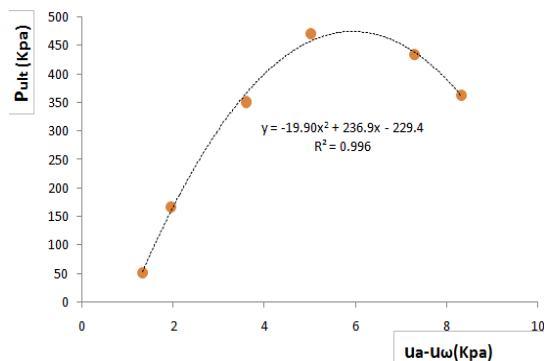
الإشباع.

الجدول (4) قيم قدرة التحمل الحدية وفق إجهادات السحب

S%	P _{ult} (Kpa)	u _a -u _w (Kpa)
20	364	8.33
25	436	7.3
35	472	5.03
50	352	3.62
70	168	1.97
90	52	1.35

ويوضح الشكل رقم(25) تغير قدرة التحمل الحدية وفق

إجهادات السحب



الشكل (21) تغير مقاومة التربة الحدية وفق إجهادات السحب

لوحظ ازدياد قدرة التحمل الحدية بشكل خطى بازدياد

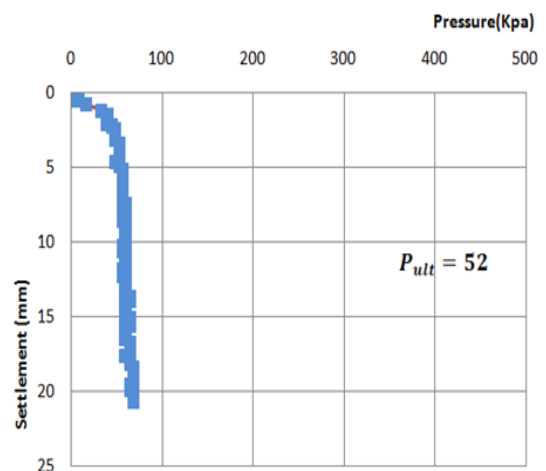
إجهادات وترواحت قيم الزيادة $u_a - u_w \leq 5.03 \text{ Kpa}$ ضمن

المجال مرات قدرة التحمل بحالة الإشباع التام، [3.2-9]

المجال بينما لوحظ تناقص قدرة التحمل الحدية أيضاً بشكل

خطى بازدياد إجهادات السحب $u_a - u_w \geq 5.03 \text{ Kpa}$

ضمن المجال كما هو مبين بالشكلين (22-23):



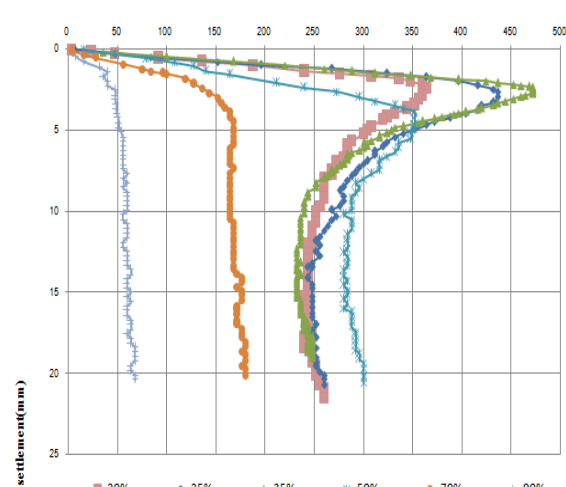
الشكل (18) منحني التحمل $S=f(P)$ للعينة بدرجة إشباع

$S=90\%$



الشكل (19) اختبار التحمل للعينة بدرجة إشباع

$S=90\%$



الشكل (20) منحنيات التحمل $S=f(P)$ من عند درجات مختلفة

الإشباع

بيان نتائج الاختبارات أن لإجهادات السحب تأثير واضح على

دراسة تأثير إجهادات السحب على قدرة تحمل أساس سطحي على تربة رملية مشبعة جزئياً

خليل، عبود و مقداد

ملاحظته في الترب متوسطة، 5.03-7.3-8.33(Kpa) السحب عند قيم محددة لإجهادات وبالتالي لإجهادات السحب تأثير واضح على آلية انهيار التربة.

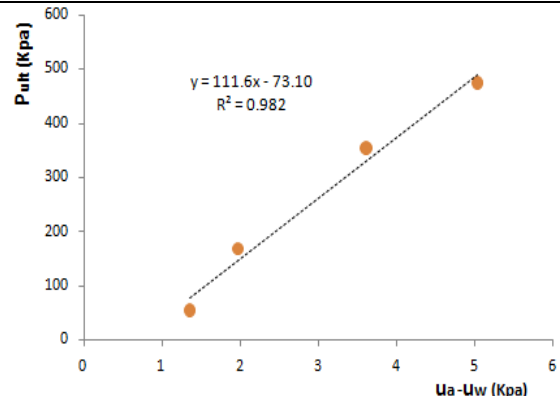
6- الاستنتاجات (Conclusion):

- 1- بینت نتائج الاختبارات ازدياد قيم قدرة التحمل الحدية بشكل خطى مع ازدياد إجهادات السحب ضمن المجال $u_a - u_w \leq 5.03 \text{ Kpa}$ مرات [3.2-9] وترواحت قيم الزيادة بين قدرة التحمل بحالة الإشباع التام.
- 2- تناقصت قيم قدرة التحمل الحدية بشكل خطى مع ازدياد إجهادات السحب ضمن المجال $u_a - u_w \geq 5.03 \text{ Kpa}$
- 3- بینت نتائج الاختبارات أن لإجهادات السحب تأثير على آلية انهيار التربة، حيث أن نموذج الانهيار الخاص بالترب عالية يمكن ملاحظته في الترب متوسطة التراسع عند قيم التراسع للتربة (5.03-7.3-8.33Kpa) محددة لإجهادات السحب المختبرة.

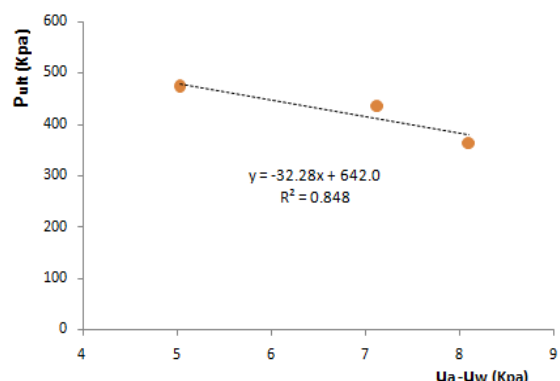
التوصيات:

إجراء أبحاث على أنواع أخرى من الترب الرملية لدراسة تأثير شكل الجزيئات على قدرة تحمل الترب الرملية المشبعة جزئياً.

التمويل: هذا البحث ممول من جامعة دمشق وفق رقم التمويل(501100020595).



الشكل (22) تغير مقاومة التربة الحدية وفق إجهادات السحب ضمن المجال $u_a - u_w \leq 5.03 \text{ Kpa}$



الشكل (23) تغير مقاومة التربة الحدية وفق إجهادات السحب ضمن المجال $u_a - u_w \geq 5.03 \text{ Kpa}$

يفسر التزايد الابتدائي لقدرة التحمل الحدية بازدياد اجهادات السحب؛ بسبب ازدياد مساحة سطح التماس بين الماء والهواء ومساهمتها في ازدياد الاجهاد الفعال وبالتالي ازدياد لقدرة التحمل الحدية، ويفسر التناقص اللاحق لقدرة التحمل الحدية بازدياد اجهادات السحب؛ بسبب تناقص مساحة سطح التماس بين الماء والهواء مع الاقتراب من الحالة الجافة وتناقص مساحتها في ازدياد الاجهاد الفعال وبالتالي تناقص لقدرة التحمل الحدية. بینت نتائج الاختبارات أن قيم التشوہات الشاقولية (الانفراخ) للعينات المشكّلة بدرجات الإشباع (20-25-35%) أكبر مقارنةً بالعينات المشكّلة بدرجات الإشباع (50-70-90%)، كما أن قطر المنطقة السطحية المنهارة للعينات المشكّلة بدرجات الإشباع (20-25-35%) أكبر وأمتدت مناطق القص إلى السطح بشكل أوضح مما يثبت حدوث الانهيار بالقص العام عند هذه الدرجات من الإشباع، أي أن نموذج الانهيار الخاص بالترب عالية التراسع يمكن

- 11- Fondjo, S.A, Theron, E and Ray, R. (2020), Assessment of Various Methods to Measure the Soil Suction, *Int. J. Innov. Technol. Explor. Eng.*, vol. 9, pp. 171–184.
- 12- Fredlund, D.G., Xing, A., (1994), Equation for the Soil Water Characteristic Curve, *Canadian Geotechnical Journal* Vol. 31, No. 3, pp. 521 – 532
- 13- JIS A 1224, (2000). Test method for minimum and maximum densities of sands, Japanese Geotechnical Society, *Soil Testing Standards*, pp. 136-138.
- 14- Li, X. (2009), Laboratory studies on the bearing capacity of unsaturated sands. Masters Thesis. Department of civil engineering. Faculty of graduate and postdoctoral studies. Univ. of Ottawa.Ottawa: Canada.137.
- 15- Matsumoto, M and Kataoka, Y.(1988), Study on liquid–vapor interface of water. I. Simulational results of thermodynamic properties and orientational structure, *J. Chem. Phys.*, vol. 88, no. 5, pp. 3233–3245
- 16- Nyuin, J.D, Md Noor, M.J, Ashaari, Y, Petrus, C and Albar, A.(2016), LABORATORY FOOTING TEST ON PARTIALLY SATURATED SANDY SOIL, *J. Teknol*, vol. 78, no. 5–5.
- 17- Oh, w and Vanapalli, S, (2013). Interpretation of the Bearing Capacity of Unsaturated Fine-Grained Soil Using the Modified Effective and the Modified Total Stress Approaches, *Int. J. Geomech.*, vol. 13, no. 6, pp. 769–778.
- 18- Ramirez, E. (2013), Introducing Unsaturated Soil Mechanics to Undergraduate Students through the Net Stress Concepts. Masters Thesis. Arizona State University, 219
- 19- Safarzadeh, Z and Aminfar, M. (2019), Experimental and Numerical Modeling of the Effect of Groundwater Table Lowering on Bearing Capacity of Shallow Square Footings, *Int. J. Eng.*, vol. 32.
- 20- Sheikhtaheri, M. (2015), Experimental and Numerical Modeling Studies for Interpreting and Estimating the $p-\delta$ Behavior of Single Model Piles in Unsaturated Sands. Masters Thesis. Department of civil engineering. Faculty of Graduate and Post

References:

- 1- Al-Khayat, S. (2018), An experimental investigation of the collapse behaviour of an unsaturated compacted soil along the static compaction curves, Doctor Thesis. Cardiff university.UK.
- 2- Abd, I, Fattah, M and Mekkiyah, H. (2020), Relationship between the matric suction and the shear strength in unsaturated soil, *Case Stud. Constr. Mater*, vol. 13, p. e00441.
- 3-Al Qayssi, M, Wakel,S and Kando, A. (2018), Experimental study of model piled raft foundation embedded with partially saturated cohesionless soils, *Journal of engineering and sustainable development*, Vol.22 No.03.
- 4 - ASTM (American Society for Testing and Materials), (2012). Standard Test Methods for Specific Gravity of Soil Solids by Water Pycnometer. ASTM D854-07.
- 5- ASTM (American Society for Testing and Materials), (2012). Standard Test Method for Particle-Size Analysis of Soils. ASTM D422-07.
- 6- ASTM (American Society for Testing and Materials), (2012). Standard Test Methods for Minimum Index Density and Unit Weight of Soils and Calculation of Relative Density. ASTM D4254-07
- 7- ASTM (American Society for Testing and Materials), (2012). Standard Test Methods for Laboratory Compaction Characteristics of Soil Using Standard Effort. ASTM D698-07.
- 8- ASTMD5298, (1994). Standard test method for measurement of soil potential (suction) using filter paper. Annual Book of ASTM Standards, 4(08), ASTM International, Philadelphia, PA.
- 9- Bulolo, S, Leong, E. C. and Abuel-Naga, H. (2021), Filter paper method for suction measurement using electrical resistivity, *Géotechnique Lett*, vol. 11, no. 3, pp. 195–201.
- 10- Du, D, Zhuang, Y, Sun, Q, Yang, X and Dias, D. (2021), Bearing capacity evaluation for shallow foundations on unsaturated soils using discretization technique, *Comput. Geotech*, vol. 137, p. 104309.

Geoenvironmental Eng., vol. 142, no. 4, p. 04015095. Graduate Studies.University of Ottawa.Ottawa: Canada.143.

23- Vanapalli, S , Fredlund, D and Pufahl, D. (1999). The influence of soil structure and stress history on the soil–water characteristics of a compacted till. Géotechnique, vol. 49, no. 2, pp. 143–159.

24- Zainal, E and Fadhil, A. (2018), Effect of Relative Density on the Matric Suction and its Contribution to Shear Strength of Unsaturated Sandy Soil, Applied Research Journal, vol. 2. pp. 134-142.

21- Shwan, B. (2015), Experimental and Numerical Study of the Shear Strength of Unsaturated Sand. DoctorThesis. Department of Civil and Structural Engineering. Faculty of Engineering. 281

22- Vahedifard, F and Robinson, J.D. (2016), Unified Method for Estimating the Ultimate Bearing Capacity of Shallow Foundations in Variably Saturated Soils under Steady Flow, J. Geotech.